

НИЗКОПРОФИЛЬНЫЙ ВОЛНОВОДНЫЙ МОСТ

LOW-PROFILE WAVEGUIDE BRIDGE

A. Suchkov

Annotation

Developed and experimentally researched the design of waveguide cophased-antiphase power divider S-band with an adjustable division ratio. It is determined that the divider implemented on the basis of two 3-decibel directional couplers and a phase shifter connected between them, provides improved in comparison with known modifications of the waveguide sum-difference device electrical characteristics. Equations for calculating design of dual-channel tunable waveguide phase shifter without dielectric filling, which provides a constant phase difference between channels in a wide frequency range are presented. Modern technological methods of manufacturing of unit using the machines with programmed numerical control are considered.

Keywords: waveguidebridge,division ratio, directionalcoupler, electromagnetic simulation.

Сучков Александр Владимирович
АО "Научно-производственное
объединение, "Лианозовский
электромеханический завод",
г. Москва

Аннотация

Разработана и экспериментально исследована низкопрофильная конструкция волноводного мостового делителя мощности S-диапазона с регулируемым коэффициентом деления. Установлено, что делитель, реализованный на базе двух 3-декабельных направленных ответвителей и фазовращателя, включенного между ними, обеспечивает более высокие по сравнению с известными вариантами волноводных суммарно-разностных устройств электрические характеристики. Приведены соотношения для расчета конструкции двухканального перестраиваемого волноводного фазовращателя без диэлектрического заполнения, который обеспечивает постоянство разности фаз между каналами в широком диапазоне частот. Рассмотрены современные технологические методы изготовления устройства с использованием станков с числовым программным управлением.

Ключевые слова:

Волноводный мост, коэффициент деления, направленный ответвитель, электродинамическое моделирование.

ВВЕДЕНИЕ

Развитие и совершенствование современных радиолокационных систем делает весьма актуальной задачу разработки высококачественных мостовых устройств, предназначенных для запитки волноводных диаграммобразующих схем моноимпульсных антенн с частотным сканированием [1], [2], поскольку характеристики этих устройств в значительной мере определяют качество формируемых диаграмм направленности суммарного и разностного каналов.

Поэтому основным требованием, предъявляемым к мостовым устройствам, является достижение оптимальных электродинамических параметров с точки зрения реализации заданных амплитуд и фаз на выходах в рабочем диапазоне частот, минимального амплитудного и фазового разбаланса, минимальных вносимых потерь, необходимой развязки между выходами, хорошего согласования выходов.

Основными недостатками известных и широко применяемых волноводных мостовых устройств (щелевой

мост, кольцевой мост, двойной Т-мост) [3], [4] являются их относительная узкополосность, а также практическое отсутствие возможности регулировки выходных электрических параметров, которые могут иметь существенное отклонение от расчетных, за счет влияния разброса технологических допусков при изготовлении.

С учетом обозначенных выше проблем была поставлена задача разработки и экспериментального исследования характеристик низкопрофильной конструкции волноводного моста с регулируемым коэффициентом деления в S-диапазоне.

Принцип построения устройства

Для решения поставленной задачи был предложен вариант реализации волноводного мостового устройства на базе 2-х 3-декабельных направленных ответвителей (НО) и фазовращателя (ФВ), включенного между ними (рис. 1).

Рассмотрим принцип работы устройства. При возбуждении плача 1 мощность делится в требуемом соотноше-

нии между плечами 2 и 3, возбуждая их синфазно. Плечо 4 оказывается развязанным, так как волны распространяющиеся по устройству в этой области равны и противофазы. При возбуждении плеча 4 мощность также делится в требуемом соотношении между плечами 2 и 3, возбуждая их однако в противофазе. Плечо 1 при этом оказывается развязанным. Коэффициент деления моста определяется значением разности фаз сигналов на выходах фазовращателя.

Каждый 3-децибелльный НО, входящий в состав конструкции устройства, выполнен в виде 2-х параллельных прямоугольных волноводов с Т-образным элементом связи в общей широкой стенке. Различные подходы к расчету рабочих характеристик и параметров конструкции, а также технология изготовления таких НО подробно рассмотрены в [5], [6].

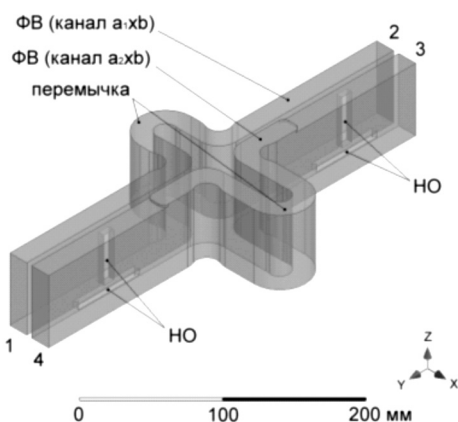


Рис. 1. Волноводный мост (электродинамическая модель).

Волноводный фазовращатель

Оригинальным элементом, определяющим качество характеристик предлагаемого варианта мостового устройства, является перестраиваемый двухканальный фазовращатель, обеспечивающий постоянство разности фаз между волноводными каналами в широком диапазоне частот, без применения в составе его конструкции диэлектрических фазосдвигающих клиньев.

Принцип работы фазовращателя основан на предложении, что два прямоугольных волновода с сечениями каналов $a_1 \times b$ и $a_2 \times b$ и длинами L_1 и L_2 , соответственно, могут обеспечить постоянство разности фаз $\Delta\phi$ в диапазоне длин волн от f_H до f_B .

Тогда, принимая известными значения a_1 , a_2 , b , f_H , f_B и $\Delta\phi$ величины L_1 и L_2 могут быть определены исходя из следующих соотношений:

$$L_1 = \frac{\Delta\phi}{2 \cdot \pi} \cdot \frac{1 - \frac{\Lambda_{H2}}{\Lambda_{B2}}}{\frac{1}{\Lambda_{B1}} - \frac{1}{\Lambda_{B2}} - \frac{\Lambda_{H2}}{\Lambda_{B2}} \left(\frac{1}{\Lambda_{H1}} - \frac{1}{\Lambda_{H2}} \right)} \quad (1)$$

$$L_2 = L_1 + \Lambda_{H2} \cdot \left[L_1 \cdot \left(\frac{1}{\Lambda_{H1}} - \frac{1}{\Lambda_{H2}} \right) - \frac{\Delta\phi}{2 \cdot \pi} \right] \quad (2)$$

где Λ_{H1} , Λ_{B1} , Λ_{H2} , Λ_{B2}

– (см. соотношения (3)) длина волны в волноводе с соответствующим поперечным сечением $a_1 \times b$ ($a_2 \times b$) на нижней (f_H) и верхней (f_B) частотах рабочего диапазона:

$$\Lambda_{H1(2)} = \frac{c}{f_H \cdot \sqrt{1 - \left(\frac{c}{2 \cdot f_H \cdot a_{1(2)}} \right)^2}}; \quad (3)$$

$$\Lambda_{B1(2)} = \frac{c}{f_B \cdot \sqrt{1 - \left(\frac{c}{2 \cdot f_B \cdot a_{1(2)}} \right)^2}}$$

Необходимо отметить, что в соответствии с формулами (1) и (2) длина фазовращателя определяется соотношением размеров широких стенок волноводных каналов a_1 и a_2 .

При этом, исходя из соображений упрощения реализации топологии устройства значение a_1 целесообразно выбрать равным величине широких стенок волноводных линий НО.

Для обеспечения согласования канала фазовращателя, имеющего сечение $a_2 \times b$, с волноводными линиями НО с сечением $a_1 \times b$ (при $a_2 - a_1 \geq 4..5$ мм) в конструкции устройства должны быть предусмотрены согласующие четвертьволновые трансформаторы.

Также было установлено, что частотная неравномерность разности фаз Δ увеличивается с ростом величины $\Delta\phi$ и по результатам расчетов не превышает значения $\pm 0,5^\circ$ при $\Delta\phi=180^\circ$ в диапазоне частот около 6% (рис. 2).

Для сравнения на рис. 2 также приведена частотная неравномерность фазовращателя выполненного на базе 2-х волноводных каналов одинакового сечения $a_1 \times b$ (показано пунктирной линией).

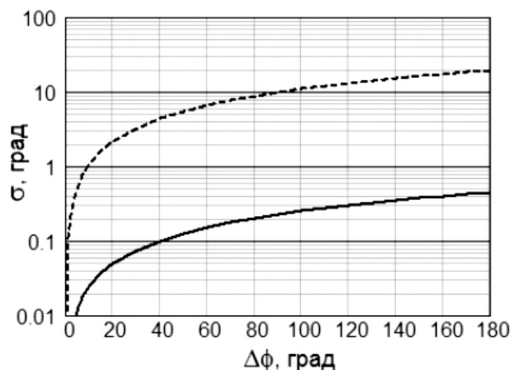


Рис. 2. Частотная неравномерность фазовращателя.

Основные характеристики

Моделирование волноводного мостового устройства выполнялось на основе разработанной трехмерной электродинамической модели (рис. 1) методом конечных элементов в специализированном программном пакете. По результатам электродинамического моделирования была разработана и изготовлена конструкция экспериментального образца устройства. На рис. 3. приведены амплитудные характеристики устройства (при различных значениях $\Delta\phi$), полученные по результатам электродинамических расчетов (сплошная и пунктирная линии), а также характеристики экспериментального образца (обозначены точками), измеренные с помощью векторного анализатора цепей Agilent E5071B на средней частоте 2775 МГц.

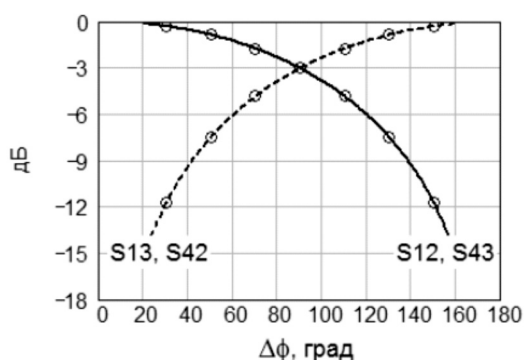


Рис. 3. Характеристики мостового устройства.

Результаты расчетов и эксперимента также показали, что амплитудные и фазовые характеристики мостового устройства при различных значениях $\Delta\phi$ остаются стабильными в полосе частот около 6%. При этом разбаланс амплитуд на выходах устройства составляет менее $\pm 0,1$ дБ, вносимые потери – около 0,05 дБ, фазовый разб-

ланс – не более $\pm 1^\circ$.

Устройство имеет высокую развязку выходов, которая составляет 25 дБ, а также хороший уровень согласования – КСВН любого из 4-х выходов устройства не превышает значения 1,15 во всем рабочем диапазоне частот (от 2690 МГц до 2860 МГц).

Видно, что при перестройке фазовращателя в пределах $20^\circ \dots 160^\circ$ динамический диапазон изменения коэффициента деления устройства составляет не менее 15 дБ. Эта особенность позволяет компенсировать влияние технологических допусков изготовления на амплитудные характеристики устройства при сохранении качества согласования, развязок между выходами и фазовых характеристик.

Конструктивно-технологическая реализация

Современная технология изготовления с использованием станков с числовым программным управлением (ЧПУ) предполагает реализацию конструкции моста (рис. 1.) в виде сборки 2-х зеркально-симметричных фрезерованных соответствующим образом алюминиевых пластин, образующих при сопряжении по плоскости, проходящей через середины широких стенок волноводных каналов, корпус устройства.

Внутри корпуса расположена топология направленных ответвителей и фазовращателя.

Фрезеровка волноводной топологии фазовращателя производится с помощью стандартной торцевой фрезы диаметром 10 мм. Технология изготовления НО рассмотрена в [5].

Для обеспечения регулировки коэффициента деления необходимо иметь возможность изменения длин каналов фазовращателя L_1 и L_2 . Для этого волноводная топология каждого из каналов фазовращателя имеет два выхода, сопрягаемых с помощью фланцевого соединения с перемычкой, которая представляет собой поворот волновода в Е-плоскости на 180° .

При регулировке устройства между перемычкой и выходами каналов фазовращателя устанавливаются дополнительные отрезки волноводов (волноводные вставки с сечениями каналов $a_1 \times b$ и $a_2 \times b$), обеспечивающие необходимое соотношение длин L_1 и L_2 .

ЗАКЛЮЧЕНИЕ

1. Высокие электрические характеристики мостового устройства достигнуты за счет применения рассчитанного в соответствии с выражениями (1) и (2) фазовращателя, обеспечивающего постоянство разности фаз между волноводными каналами в рабочей полосе частот с частотной неравномерностью порядка $\pm 0,5^\circ$.

2. Влияние технологических допусков изготовления на амплитудные характеристики устройства компенсируется возможностью регулировки коэффициента деления.

3. Электрическая прочность устройства ограничивается размерами поперечной и продольной щелей Т-образного элемента связи в направленных ответвителях, примененных в составе конструкции.

4. Технология изготовления моста позволяет интегрировать его конструкцию (с целью синфазно-противофазной запитки) в топологии фрезерованных волноводных распределителей мощности антенн моноимпульсных радиолокационных станций [2].

ЛИТЕРАТУРА

1. Бородин Н.Д., Исаков М.В // Патент 2490760 (РФ). Моноимпульсная антенна с частотным сканированием. Опубл. в Б. И., 2013. № 23.
2. Сучков А.В. Моноимпульсная волноводно-щелевая антennaя решетка с частотным сканированием // Аннотации работ 7-го межотраслевого молодежного конкурса научно-технических работ и проектов "Молодежь и будущее авиации и космонавтики". (Москва, 17 ноября 2015). Москва: МАИ. 2015. С. 176–178.
3. Воскресенский Д.И., Гостиухин В.Л., Максимов В.М., Пономарев Л.И. Устройства СВЧ и антены / Под ред. Д.И. Воскресенского. Изд. 2-е, доп. и перераб. М.: Радиотехника. 2006. 376 с.
4. Фельдштейн А.Л., Явич Л.Р., Смирнов В.П. Справочник по элементам волноводной техники. М.: Сов. Радио, 1967. 652 с.
5. Сучков А.В. Характеристики и практическое применение технологичной конструкции волноводного Т-щелевого направленного ответвителя // Современная наука: актуальные проблемы теории и практики. Серия "Естественные и технические науки".
6. Сосунов В.А., Шибаев А.А. Направленные ответвители сверхвысоких частот. Саратов. Приволжское книжное издательство. 1964. 136 с.

© А.В. Сучков, [avsu@bk.ru], Журнал «Современная наука: актуальные проблемы теории и практики»,

The advertisement features a black and white photograph of an oilfield with several derrick structures and a large pumpjack in the center. A circular badge on the left side of the image contains the text 'НЕФТЬ ГАЗ ЭНЕРГО 2016'. Above the image are logos for various sponsors: 56.ru, 2GIS, OMG, dom.ru, БИЗНЕС, and others. To the right of the image is a QR code. The main text reads: 'XIII СПЕЦИАЛИЗИРОВАННАЯ •ВЫСТАВКА• «НЕФТЬ. ГАЗ. ЭНЕРГО»'. Below this, a list of exhibition topics is provided:

- Добыча нефти и газа (технологии и оборудование)
- Геология, геофизика
- Сейсмическое оборудование и услуги
- Транспортировка, переработка и хранение нефти, нефтепродуктов и газа

At the bottom left, the dates '17 - 19 ФЕВРАЛЯ' are listed, and at the bottom right, the text 'Оренбург' and 'ООО «УралЭкспо»'.